



Polibotánica

ISSN: 1405-2768

rfernand@ipn.mx

Departamento de Botánica

México

Mendoza González, A. Catalina; Mateo Cid, Luz Elena  
Contribución al estudio de la ficoflora marina de la costa del estado de Chiapas, México (parte c)  
Polibotánica, núm. 2, junio, 1996, pp. 61-118  
Departamento de Botánica  
Distrito Federal, México

Disponible en: <http://www.redalyc.org/articulo.oa?id=62100208>

- Cómo citar el artículo
- Número completo
- Más información del artículo
- Página de la revista en redalyc.org

redalyc.org

Sistema de Información Científica

Red de Revistas Científicas de América Latina, el Caribe, España y Portugal

Proyecto académico sin fines de lucro, desarrollado bajo la iniciativa de acceso abierto

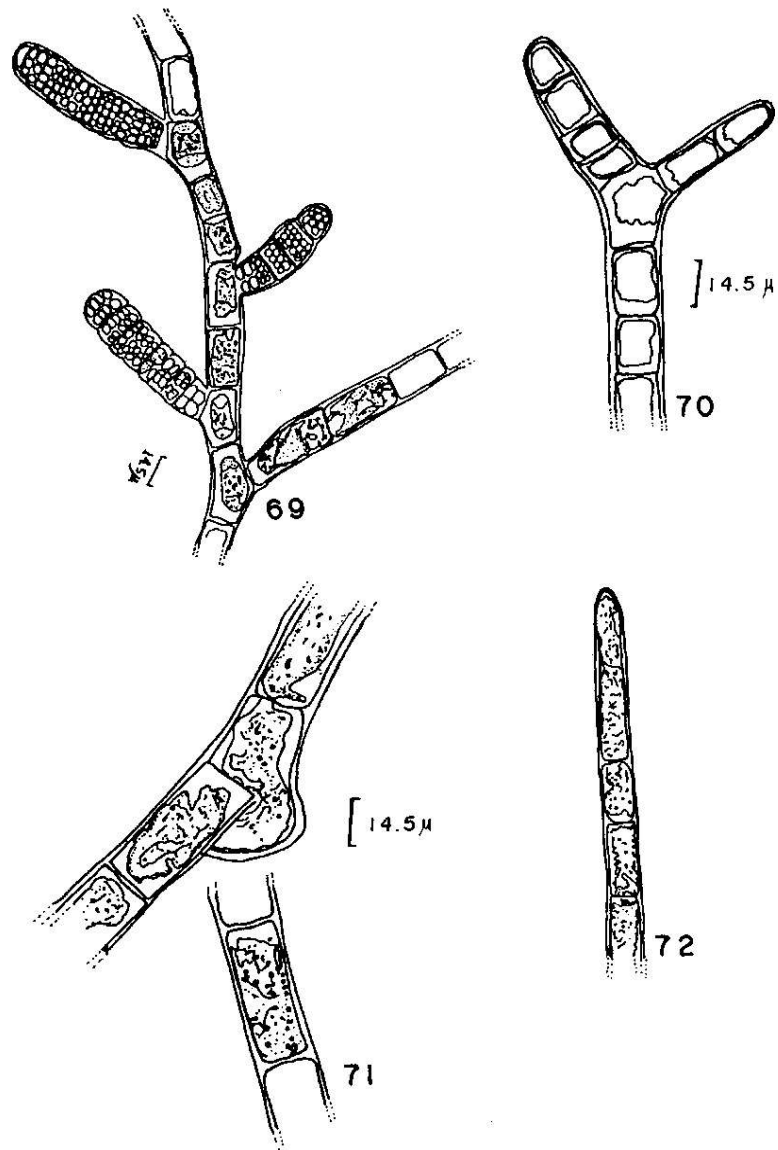
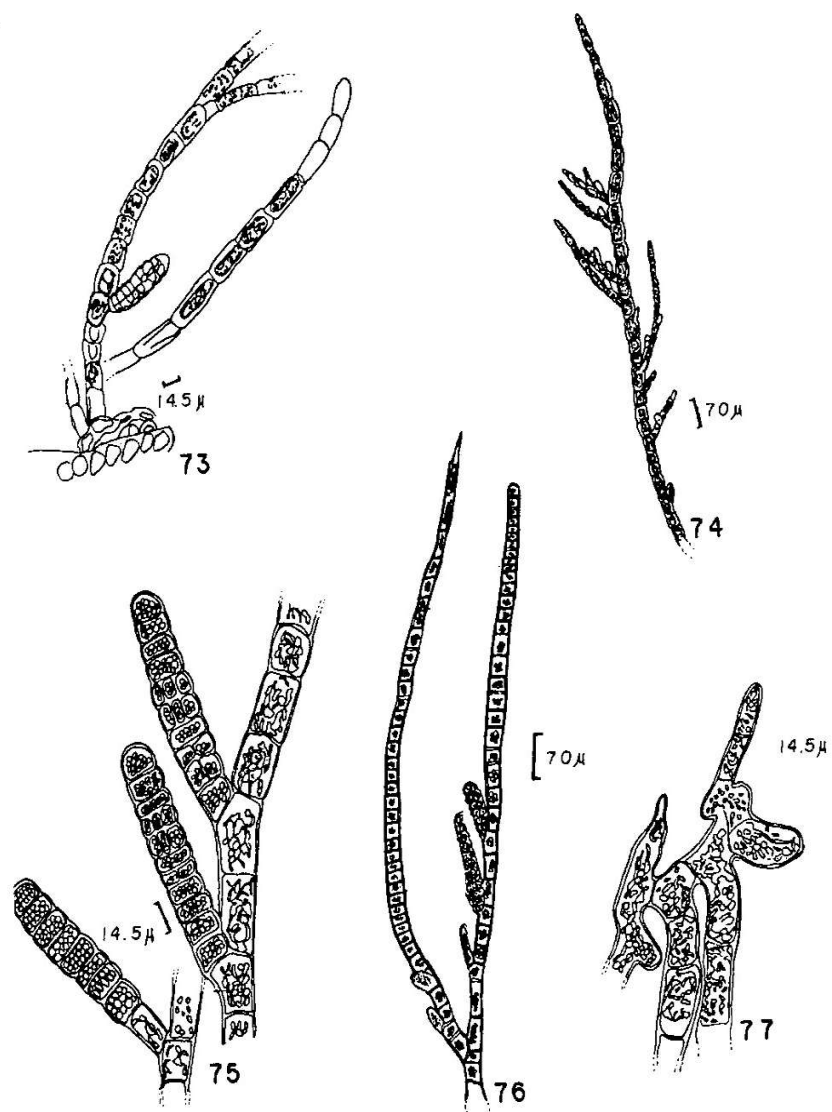


LÁMINA XVII. FIG. 69. *Ectocarpus parvus*. Detalle del talo con plurangias. FIG. 70 y 72. *E. parvus*. Porciones apicales del talo. FIG. 71. *E. parvus*. Detalle de las porciones medias.



**LÁMINA XVIII. FIG. 73.** *Hincksia rallsiae*. Porción basal del talo y con plurangias. **FIG. 74.** *H. rallsiae*. Porción apical del talo. **FIG. 75 y 76.** *Hincksia mitchelliae*. Detalle de las plurangias en diferentes estadios de desarrollo. **FIG. 77.** *H. mitchelliae*. Porción basal del talo.

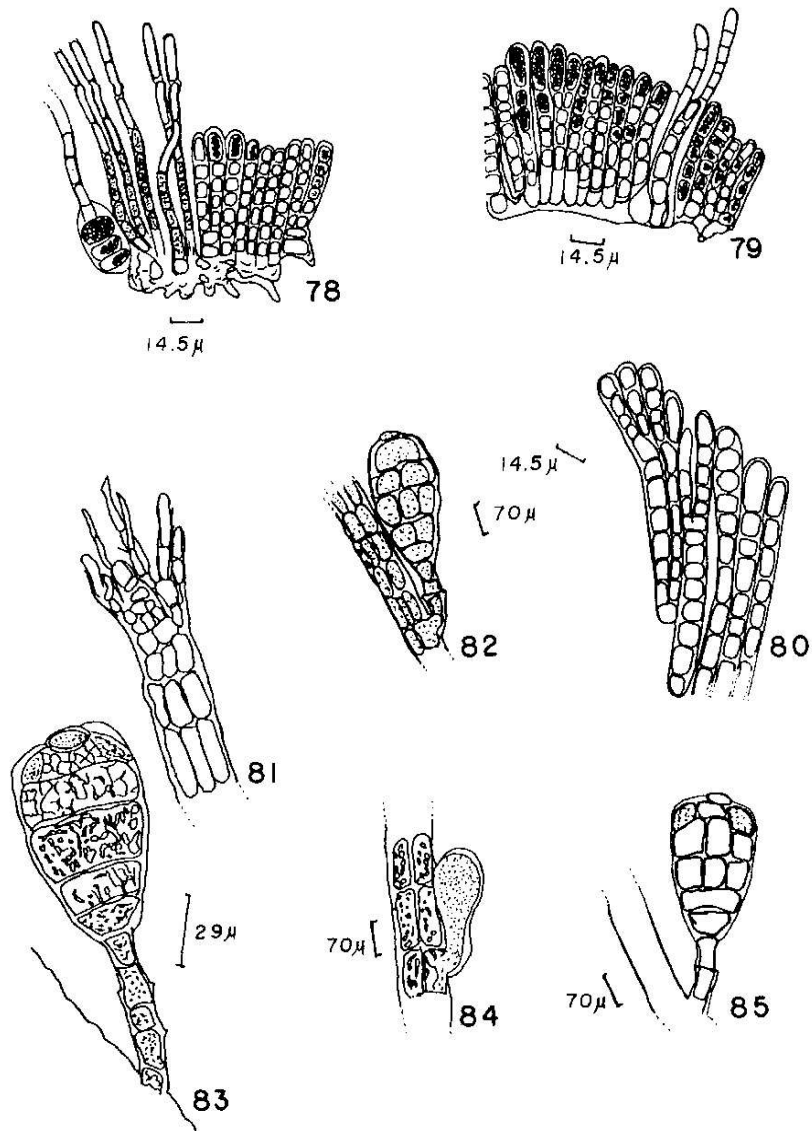


LÁMINA XIX. FIG. 78 y 79. *Pseudolithoderma nigrum*. Porciones basales con «pelos» en corte transversal. FIG. 80. *P. nigrum*. Detalle de los filamentos superficiales, notese las ramificaciones. FIG. 81. *Sphacelaria novae-hollandiae*. Porción apical del talo. FIG. 82 a FIG. 85. *S. novae-hollandiae*. Propágulos en diferentes estadios de desarrollo.

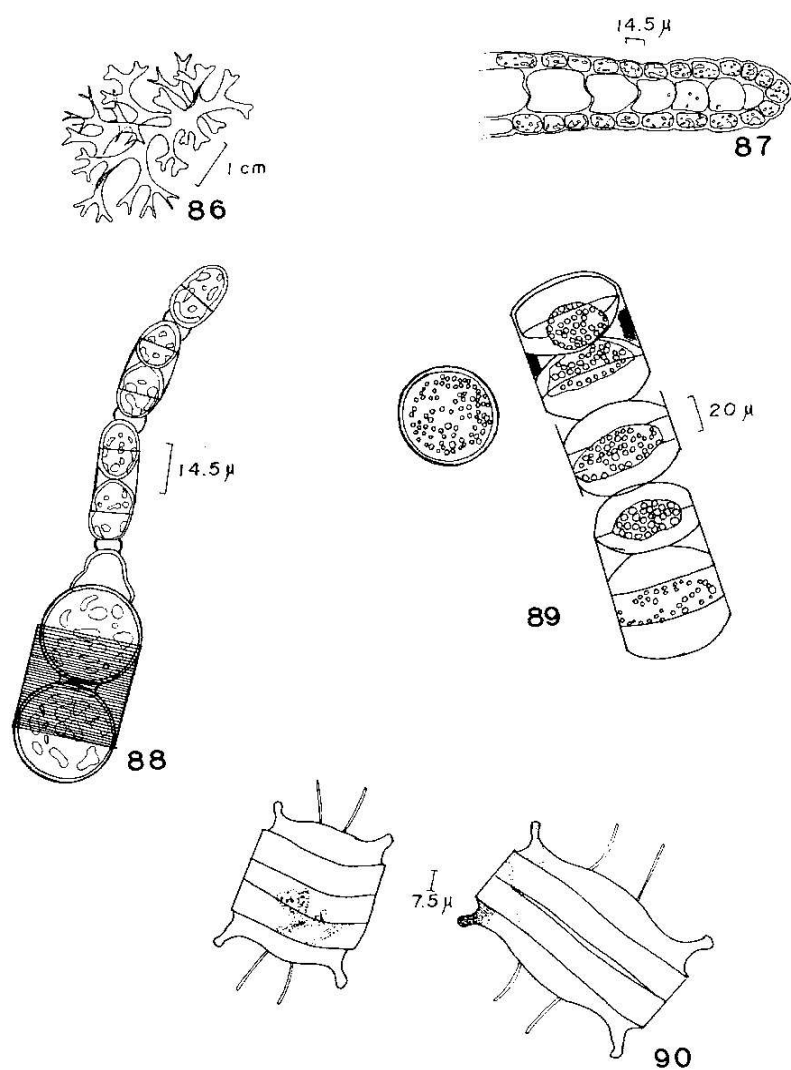


LÁMINA XX. FIG. 86. *Dictyota bartayresiana* var. *divaricata*. Aspecto general del talo. FIG. 87. *D. bartayresiana* var. *divaricata*. Corte transversal del talo. FIG. 88. *Melosira moniliformis*. Aspecto de la colonia filamentososa. FIG. 89. *Melosira juerguensisii*. Aspecto de la colonia filamentososa y vista valvar de la célula. FIG. 90. *Biddulphia aurita*. Detalle del talo.

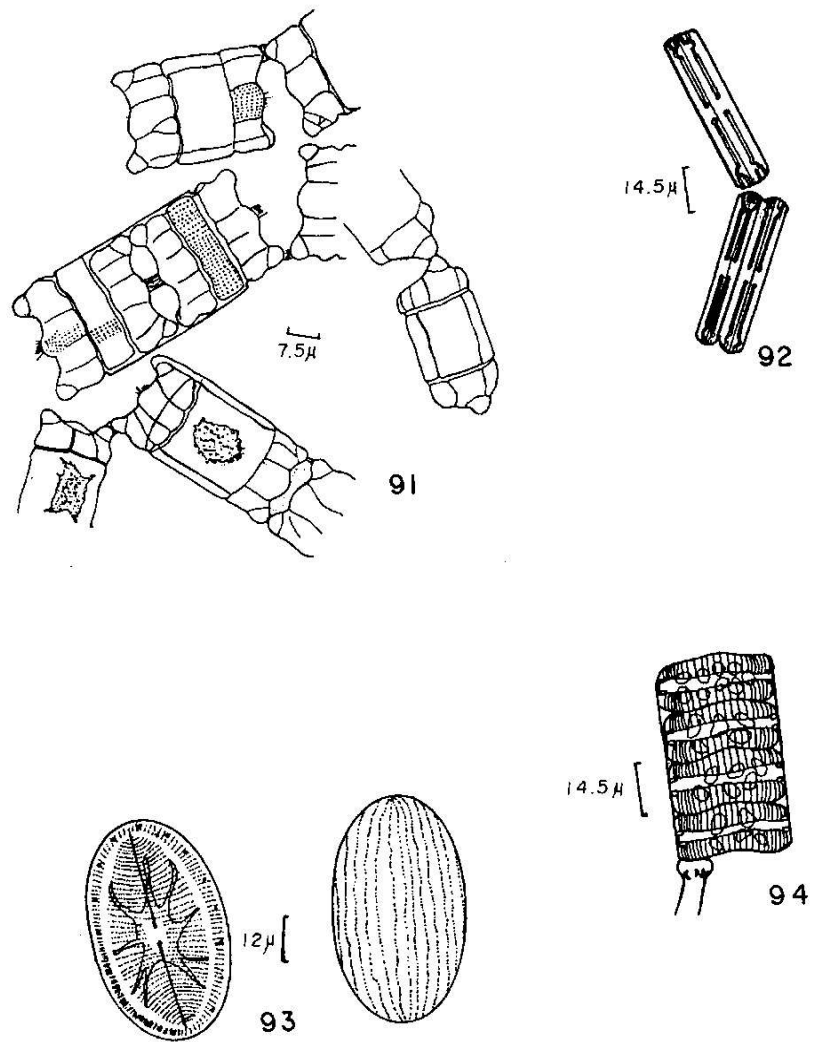


LÁMINA XXI. FIG. 91. *Bidulphia pulchella*. Detalle de las colonias filamentosas. FIG. 92. *Grammatophora marina*. Aspecto general del talo. FIG. 93. *Cocconeis placentula*. Vistas valvares, superior e inferior. FIG. 94. *Achnantes longipes*. Colonia sésil.

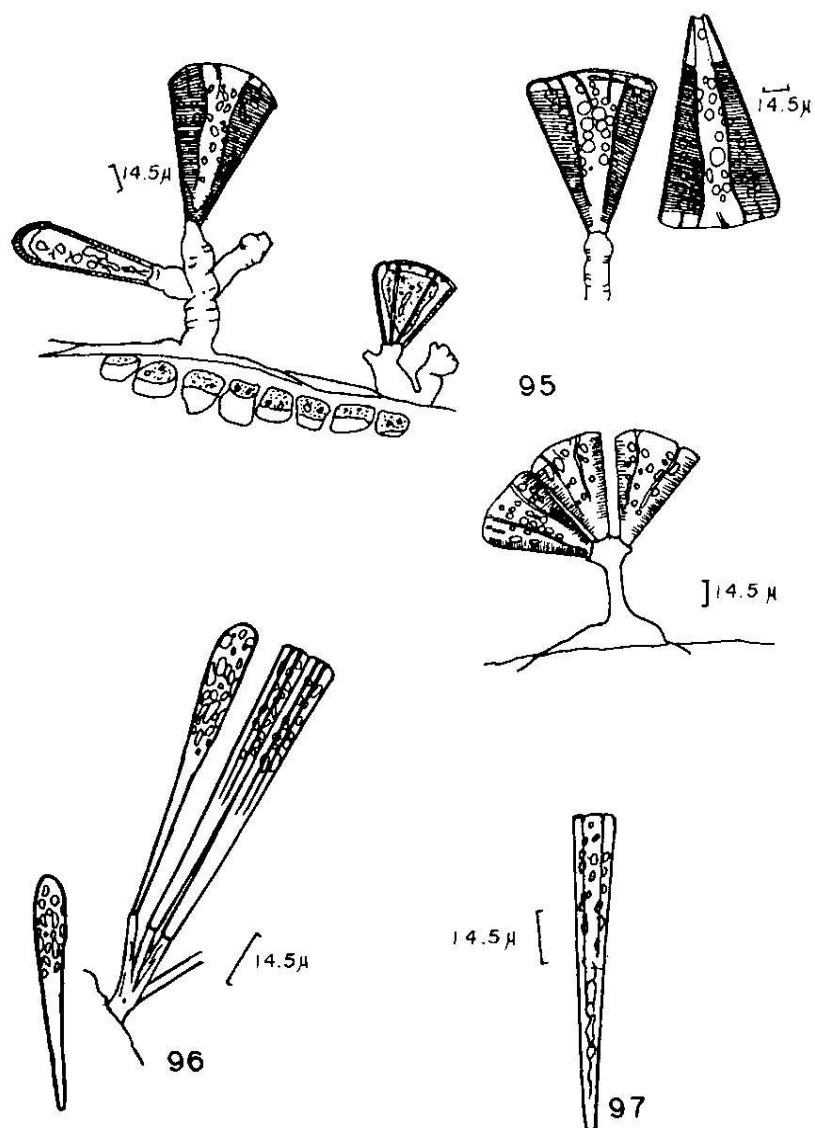
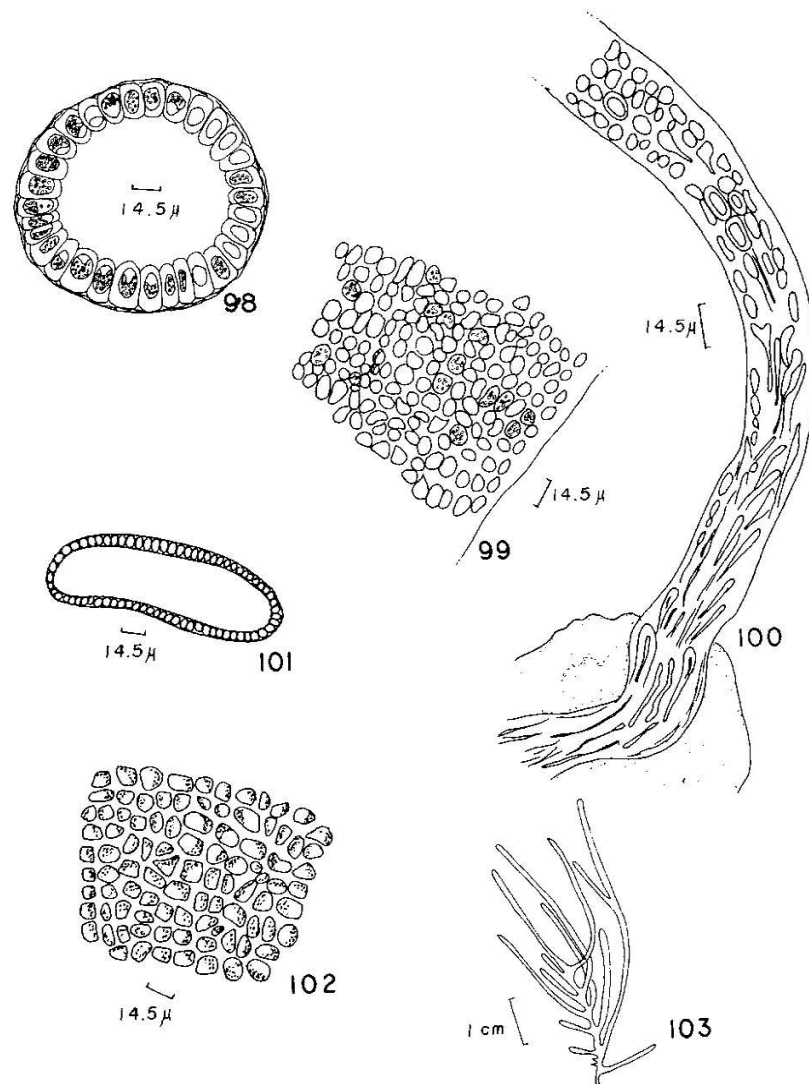


LÁMINA XXII. FIG. 95. *Licmophora abbreviata*. Detalle de las células en vista conectiva y valvar, desarrollándose sobre *Enteromorpha*. FIG. 96. *L. flabellata*. Vista valvar y conectiva de células fijas. FIG. 97. *L. flabellata*. Células en vista conectiva.



**LÁMINA XXIII. FIG. 98.** *Enteromorpha intestinalis*. Corte transversal del talo en la porción basal. **FIG. 99.** *E. intestinalis*. Vista superficial del talo. **FIG. 100.** *E. intestinalis*. Porción basal. **FIG. 101.** *E. intestinalis*. Corte transversal en la porción media del talo. **FIG. 102.** *Enteromorpha compressa*. Vista superficial del talo. **FIG. 103.** *E. compressa*. Aspecto general del talo.



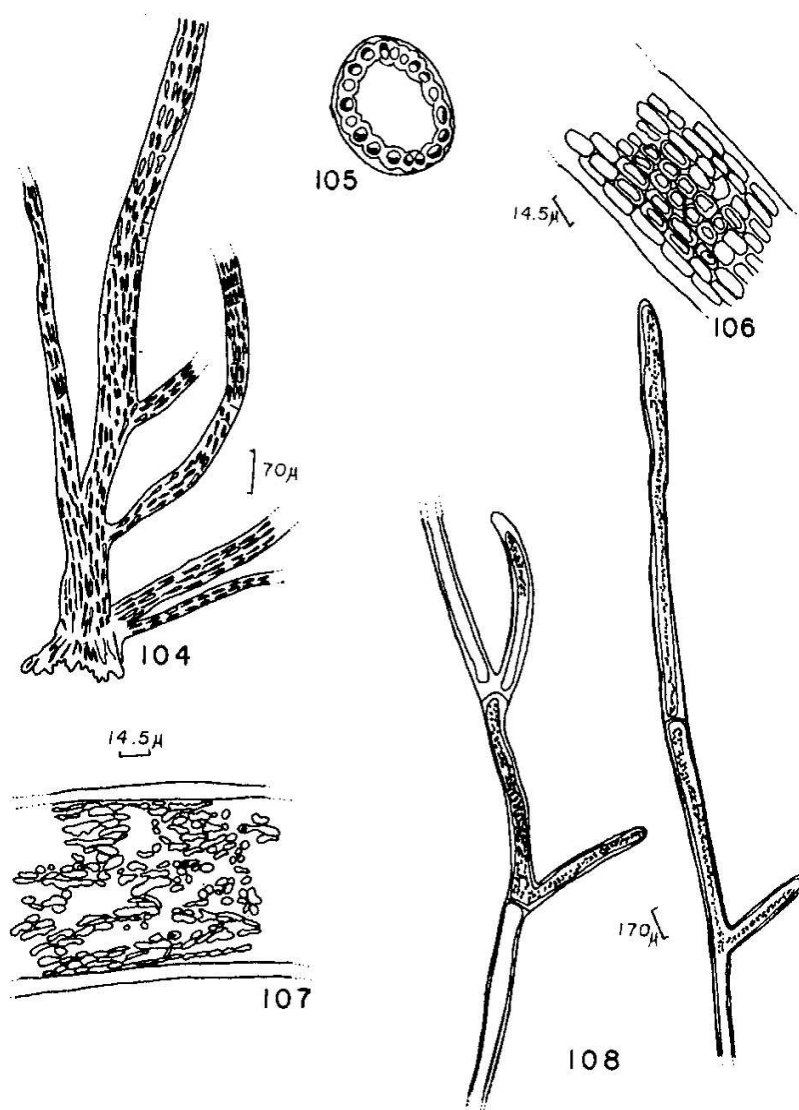
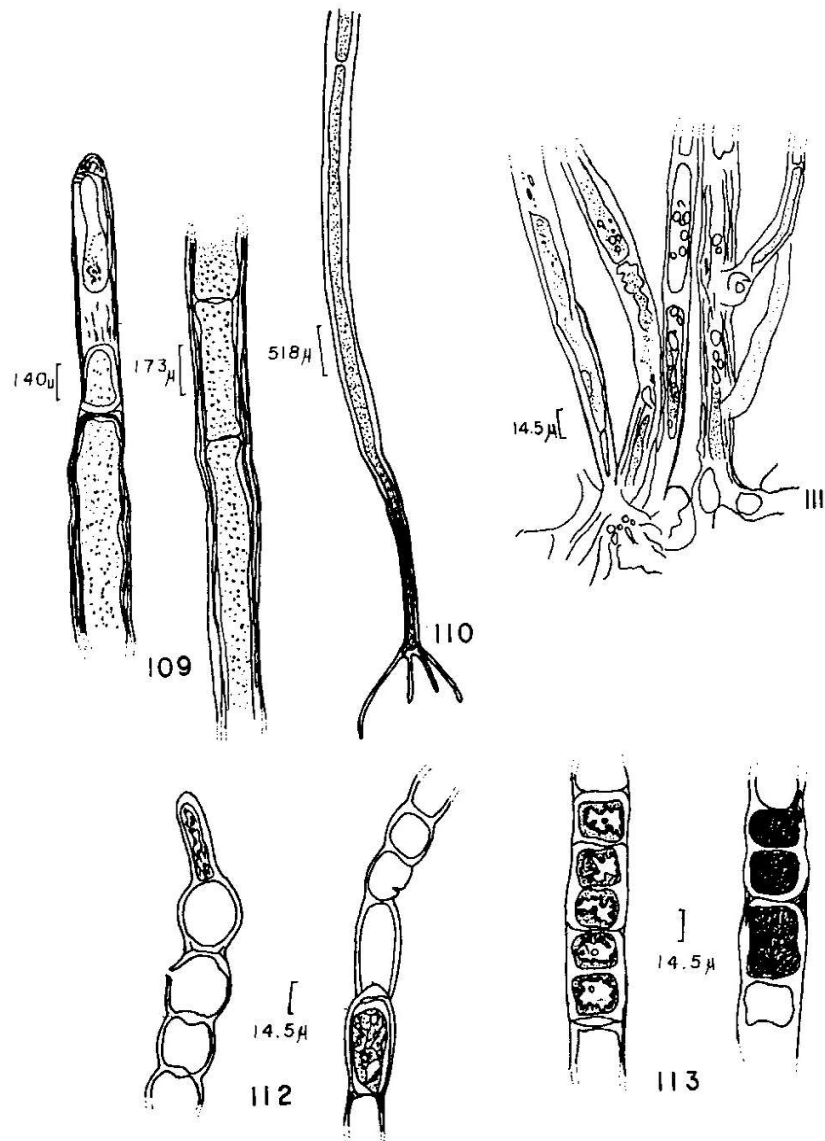


LÁMINA XXIV. FIG. 104. *Enteromorpha flexuosa*. Porción basal del talo. FIG. 105. *E. flexuosa*. Corte transversal de la porción basal. FIG. 106. *E. flexuosa*. Vista superficial del talo. FIG. 107. *Cladophoropsis sundanensis*. Detalle de los plastos. FIG. 108. *C. sundanensis*. Porción apical del talo y ramas.



**LÁMINA XXV. FIG. 109.** *Chaetomorpha antennina*. Porción media y apical del talo. **FIG. 110.** *C. antennina*. Célula basal. **FIG. 111.** *Cladophora albida*. Porciones basales del talo. **FIG. 112.** *C. albida*. Porciones media y apical en reproducción. **FIG. 113.** *C. albida*. Detalle de las porciones medias.

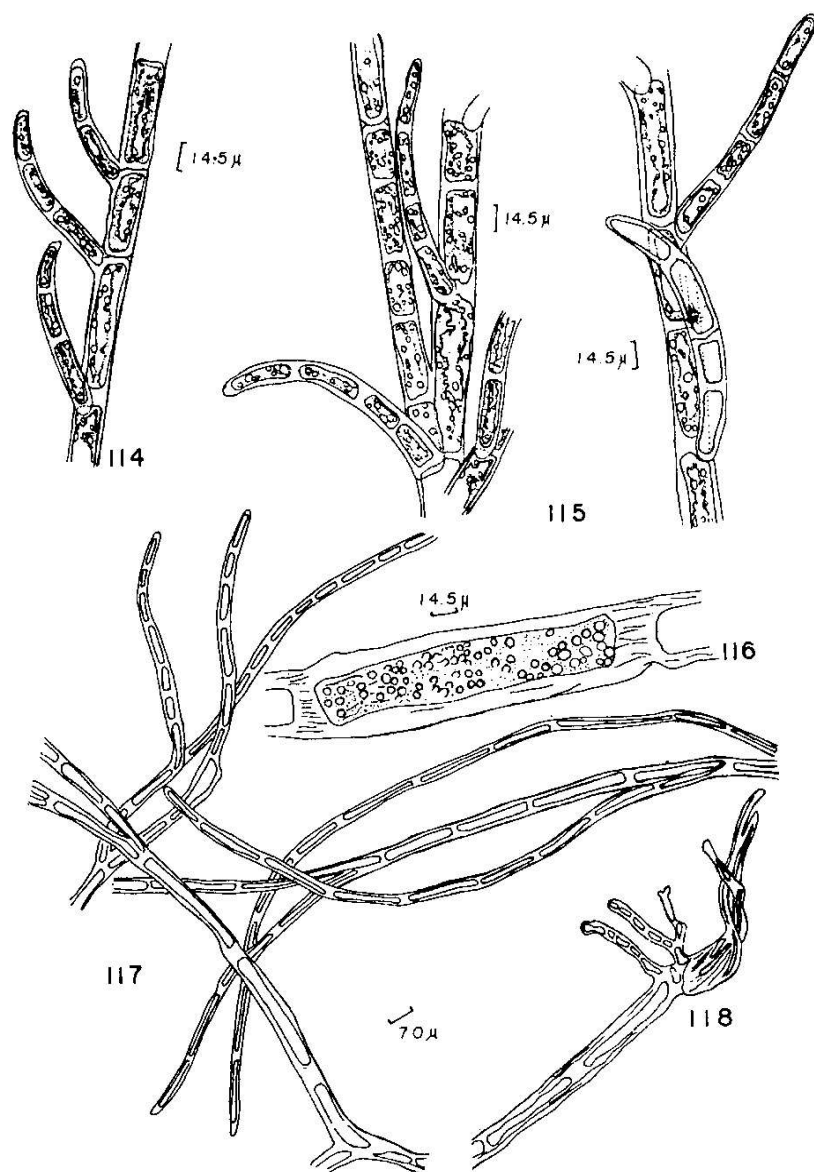


LÁMINA XXVI. FIG. 114 y 115. *Cladophora sericea*. Detalle de las porciones medias del talo. FIG. 116. *C. sericea*. Aspecto de las células. FIG. 117. *C. sericea*. Aspecto de la ramificación del talo. FIG. 118. *C. sericea*. Porción basal del talo.

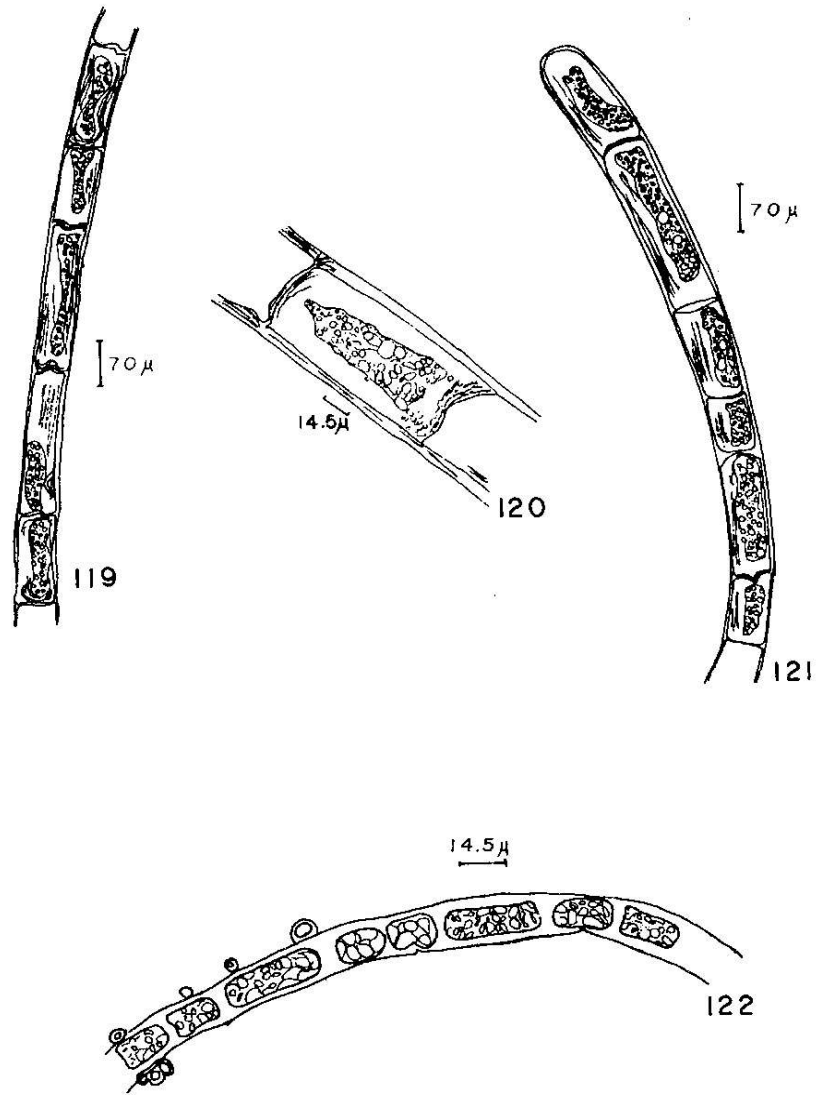
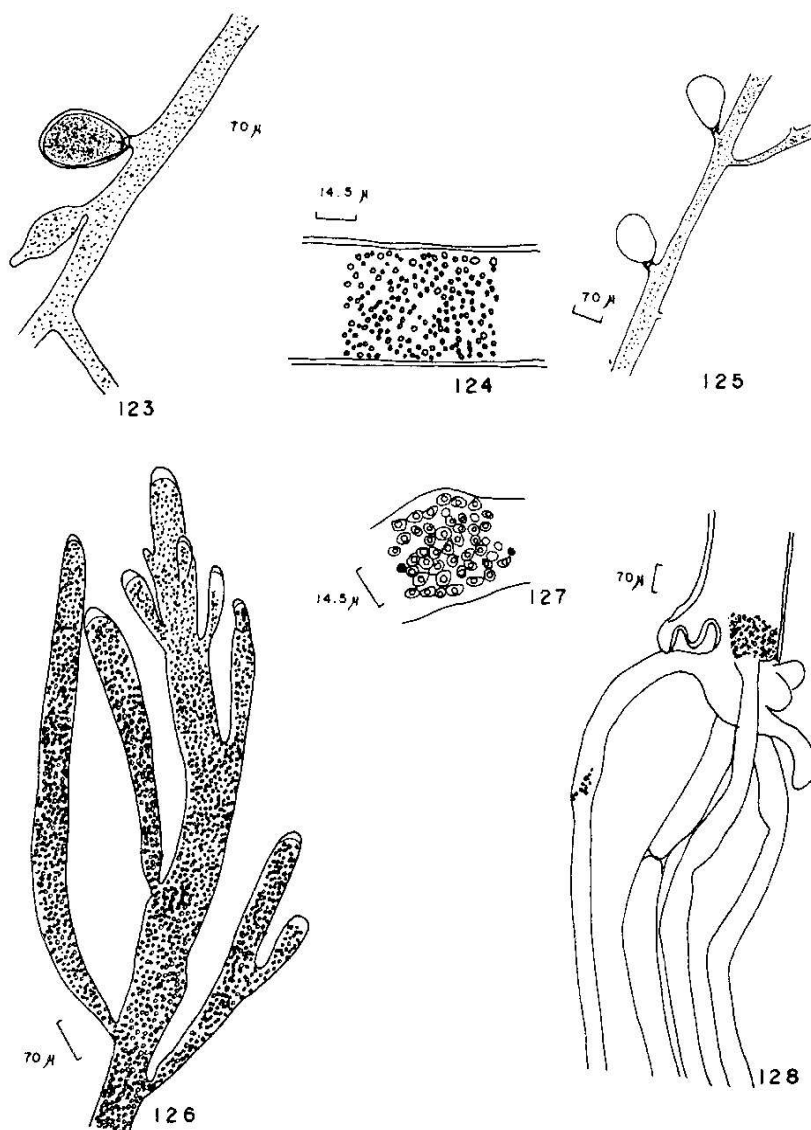


LÁMINA XXVII. FIG. 119. *Rhizoclonium africanum*. Porción media del filamento. FIG. 120. *R. africanum*. Detalle de las células. FIG. 121. *R. africanum*. Extremo del filamento. FIG. 122. *R. riparium*. Aspecto general del talo.



**LÁMINA XXVIII. FIG. 123.** *Derbesia marina*. Filamento con gametangia madura. **FIG. 124.** *D. marina*. Detalle de los plastos. **FIG. 125.** *D. marina*. Gametangias en formación. **FIG. 126.** *Bryopsis hypnoides*. Aspecto de las porciones apicales del talo. **FIG. 127.** *B. hypnoides*. Detalle de los plastos. **FIG. 128.** *B. hypnoides*. Aspecto de la porción basal.

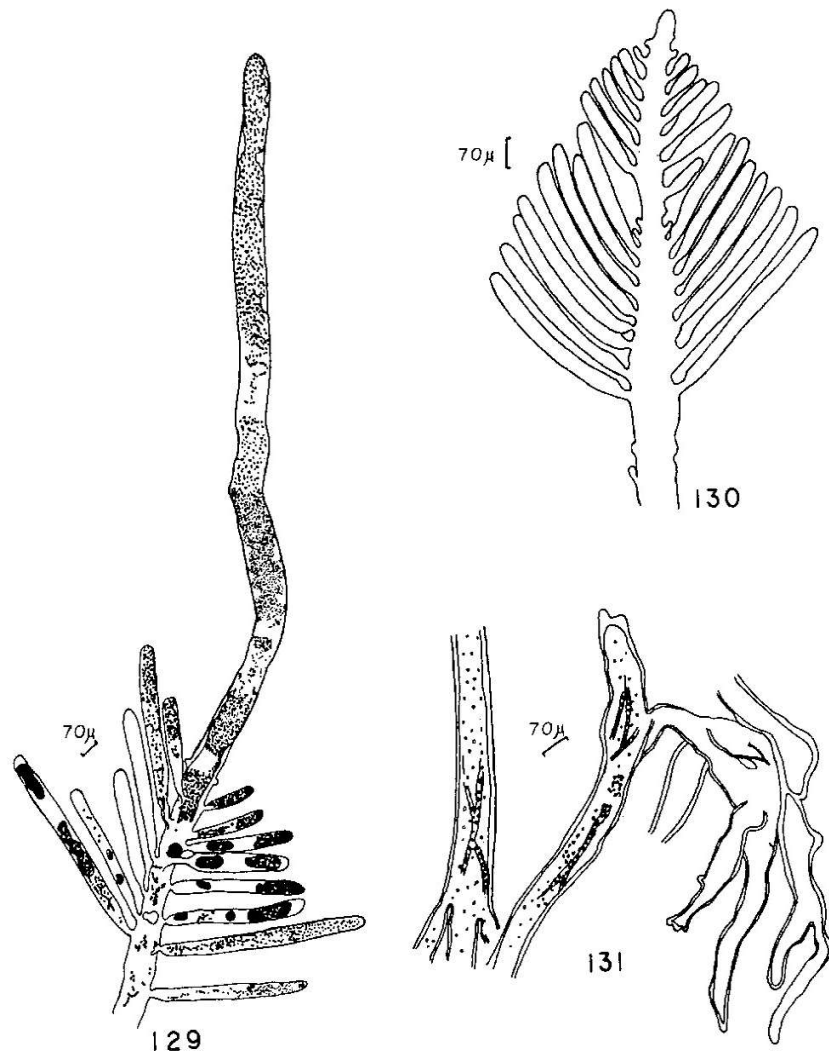


LÁMINA XXIX. FIG. 129. *Bryopsis pennatula*. Célula apical especialmente alargada. FIG. 130. *B. pennatula*. Porción apical del talo. FIG. 131. *B. pennatula*. aspecto de la porción basal del talo.